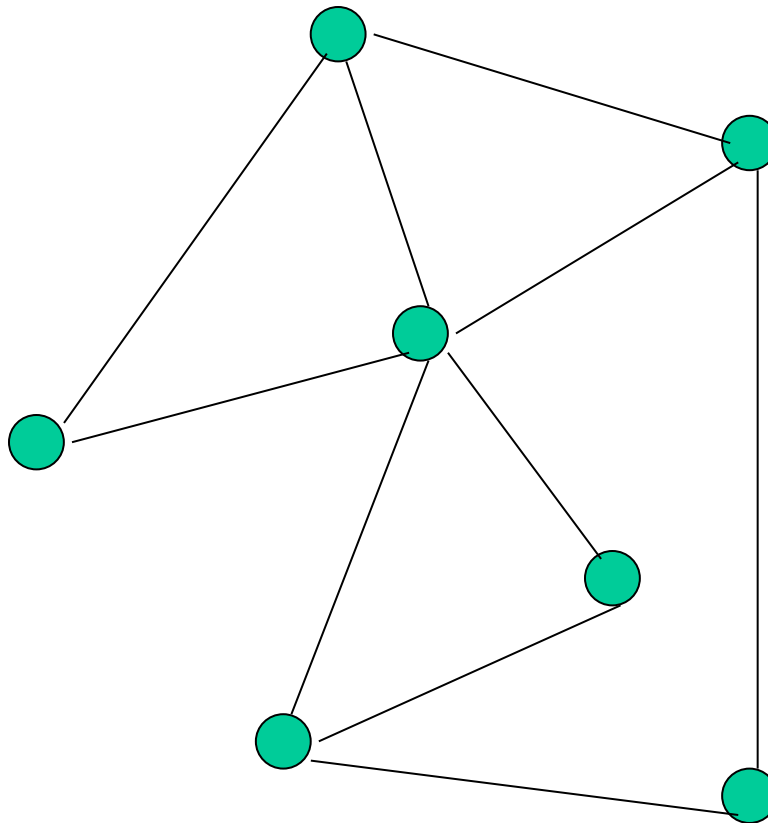


データ構造とプログラミング技法 (第4回)

—グラフ構造—

グラフ構造

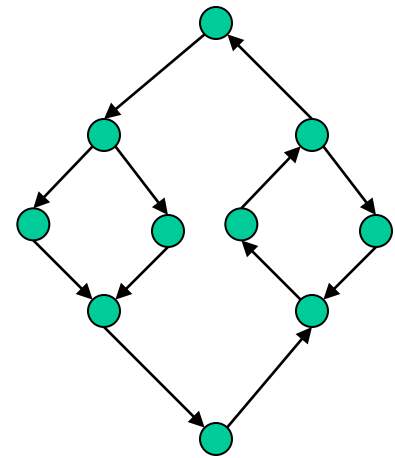
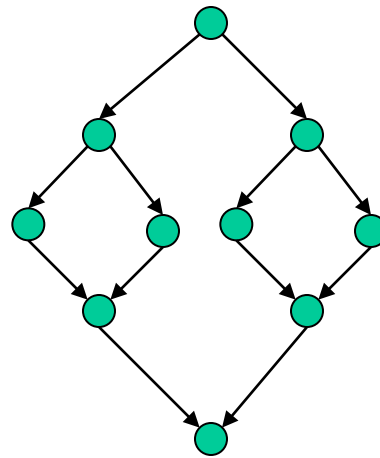
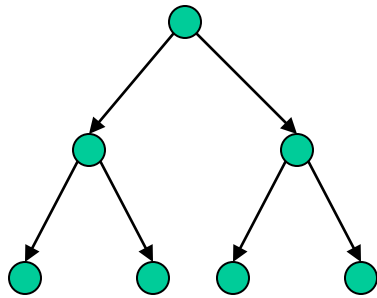
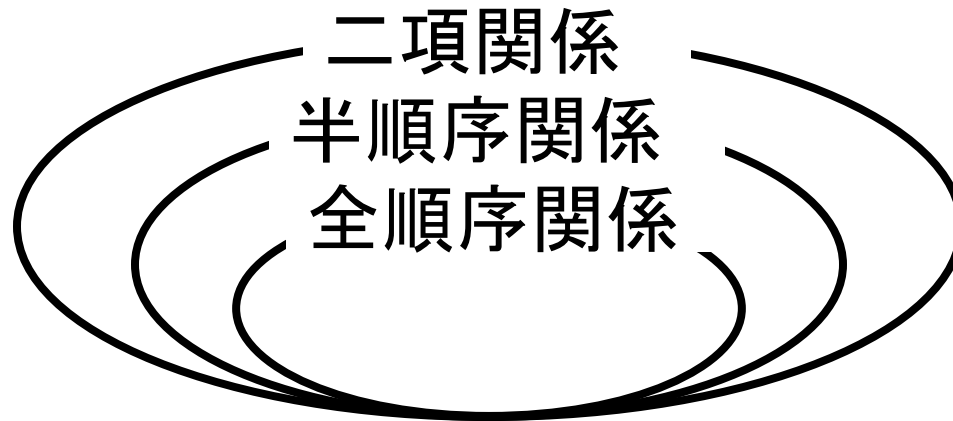
- グラフは以下の二つの集合によって定義される。
 - (1) 頂点の有限集合 V
 - (2) 辺(2つの頂点の組)の有限集合 $E(\subseteq V \times V)$



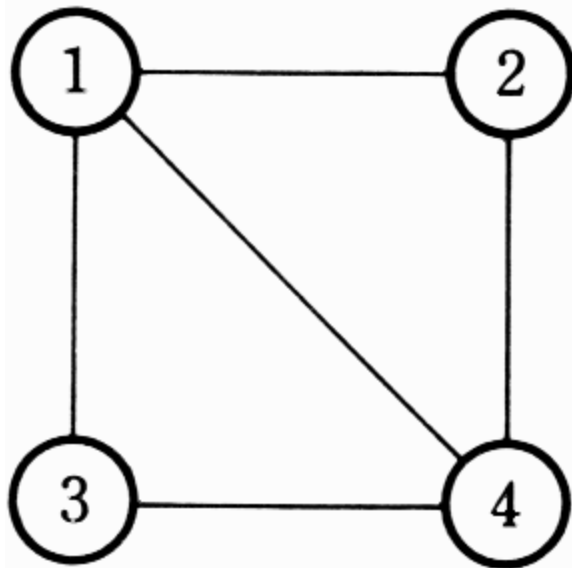
$$G = (V, E)$$

グラフ構造

- グラフは一般的な二項関係の表現ができる。

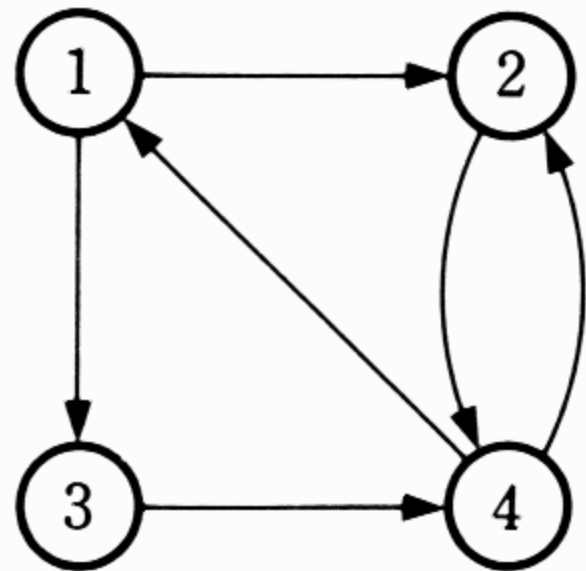


グラフの種類



$$G_1 = (V_1, E_1)$$
$$V_1 = \{1, 2, 3, 4\}$$
$$E_1 = \{(1, 2), (1, 3), (1, 4), (2, 4), (3, 4)\}$$

(a) 無向グラフ



$$G_2 = (V_2, E_2)$$
$$V_2 = \{1, 2, 3, 4\}$$
$$E_2 = \{\langle 1, 2 \rangle, \langle 1, 3 \rangle, \langle 1, 4 \rangle, \langle 2, 4 \rangle, \langle 3, 4 \rangle, \langle 4, 2 \rangle\}$$

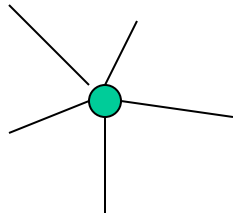
(b) 有向グラフ

図 5.1 グラフ

グラフの位相的側面

•次数

5



孤立点

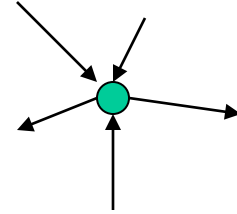


•出次数

2

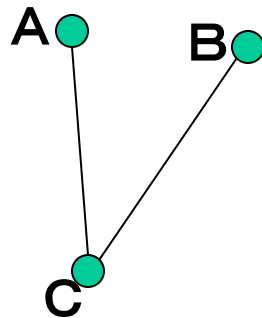
•入次数

3



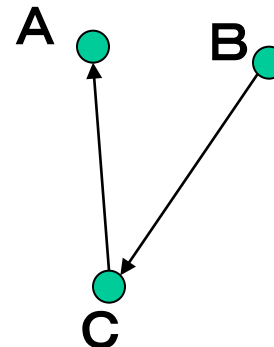
•「隣接する」

AとC BとC



•「隣接する」

CはAに BはCに



完全グラフ

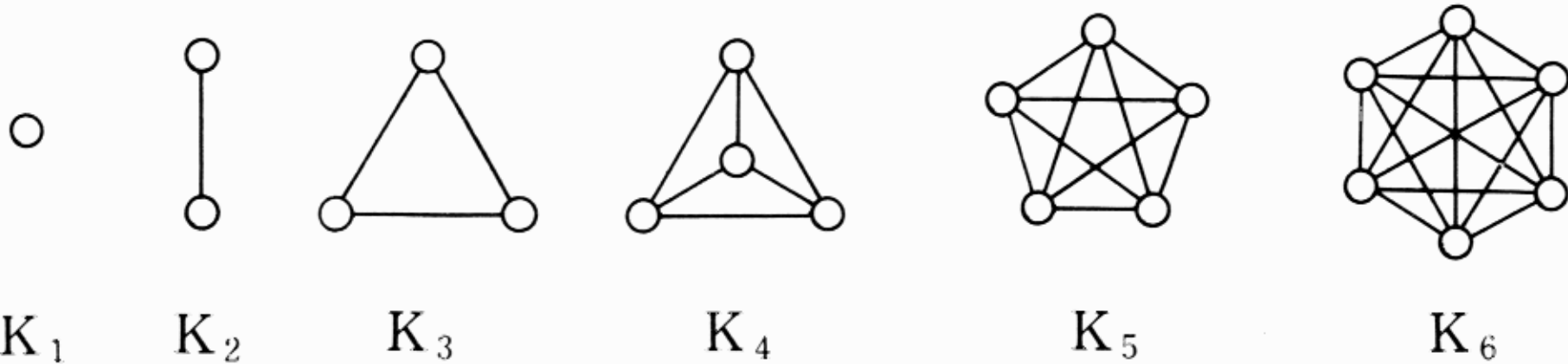


図 5.2 完全グラフ K_n

任意の2頂点が隣接しているようなグラフ

部分グラフ

部分グラフ

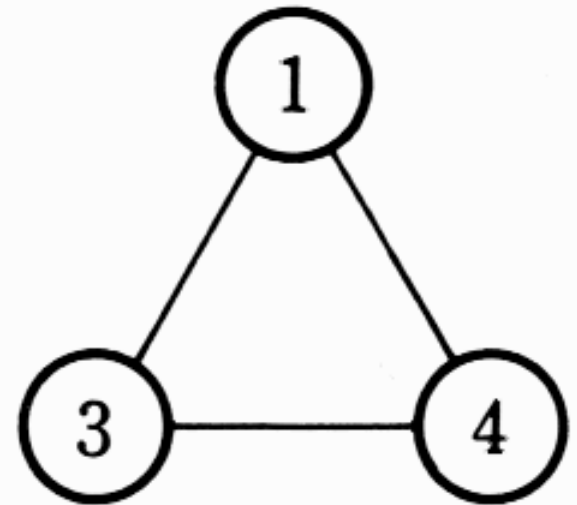
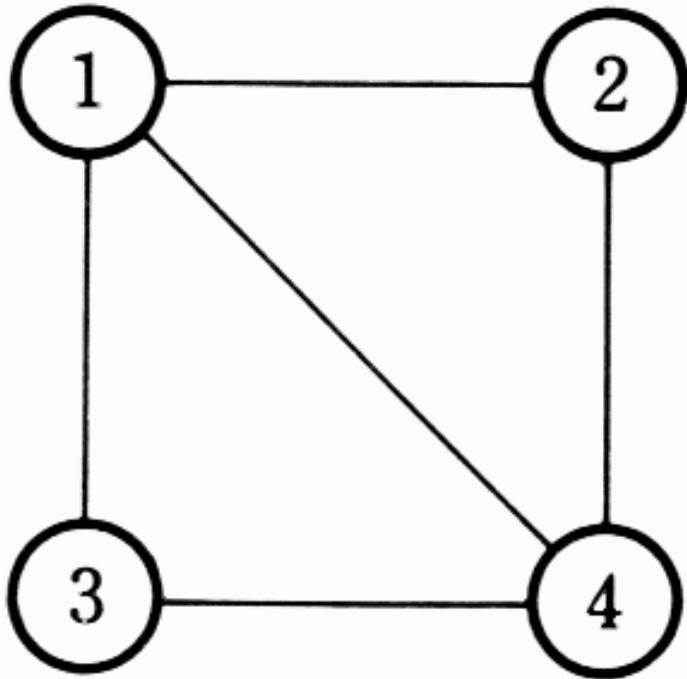
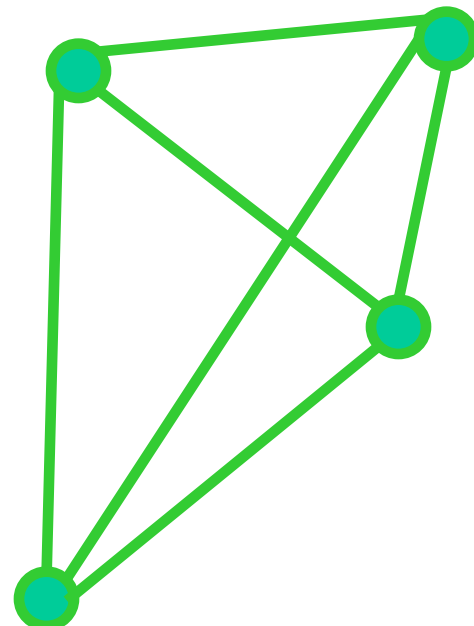
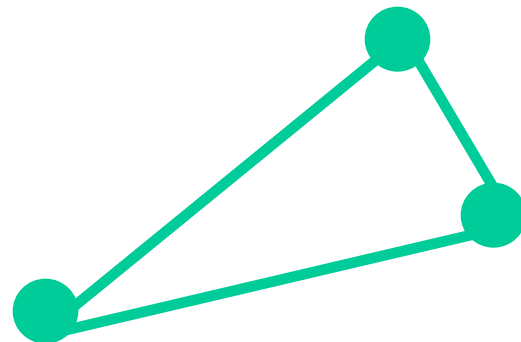
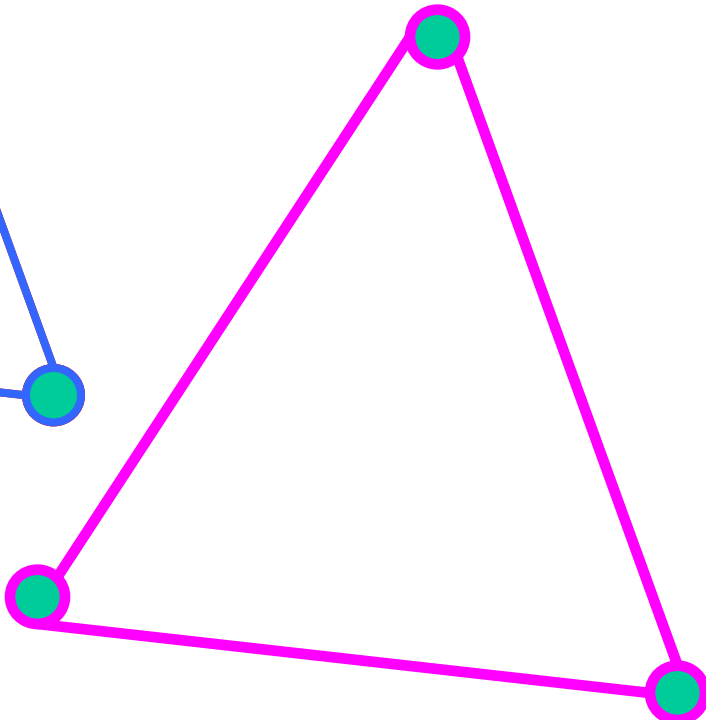
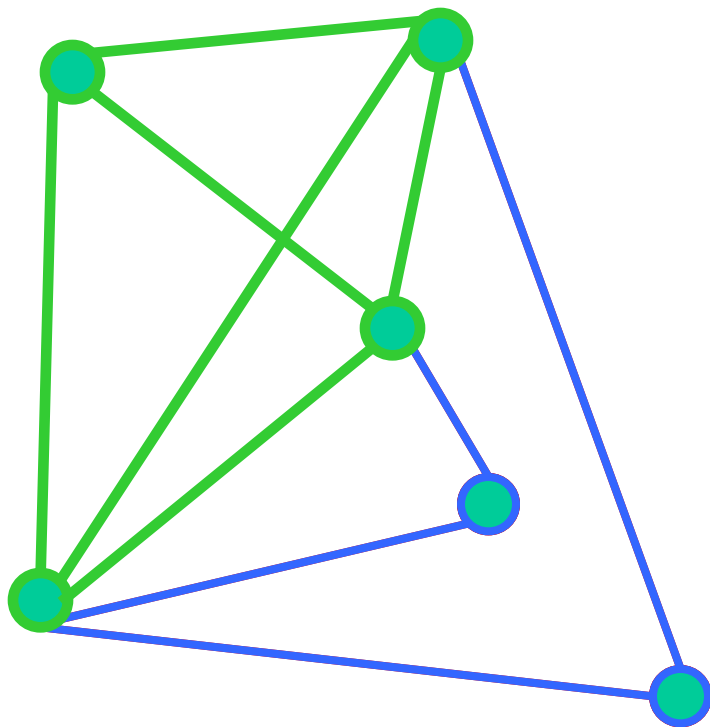


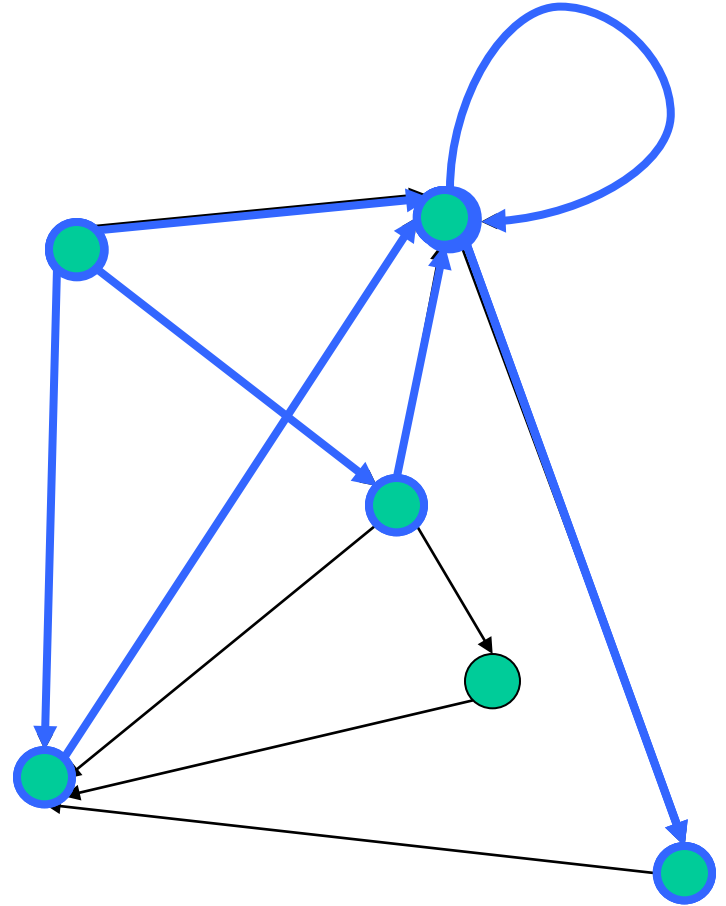
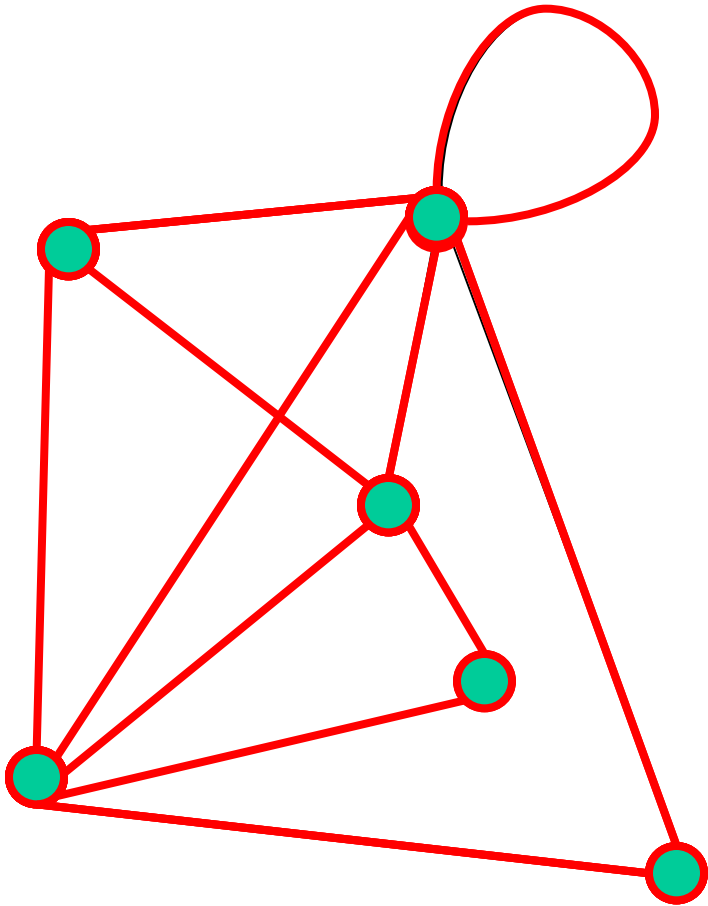
図 5.3 G_1 の部分グラフ

クリーク

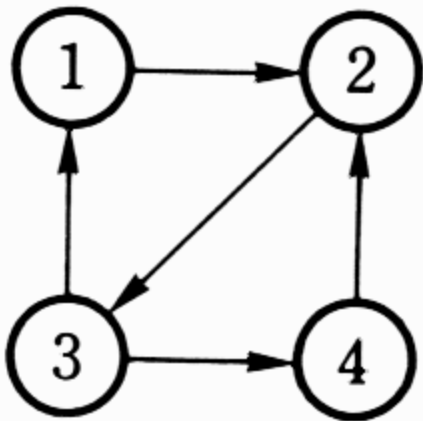
完全グラフである部分グラフ



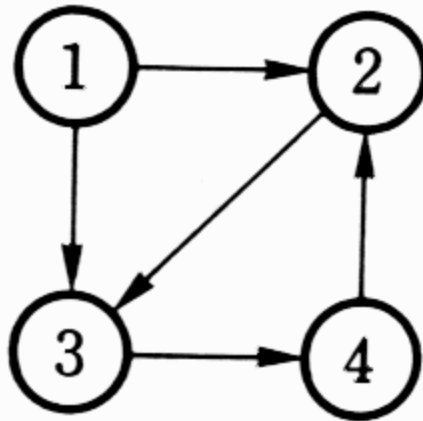
路／閉路／距離



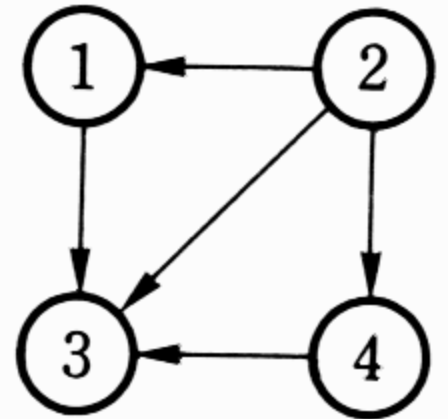
グラフの連結性



強連結



連結



弱連結

図 5.4 有向グラフの連結性

グラフの直径／離心数／中心／半径

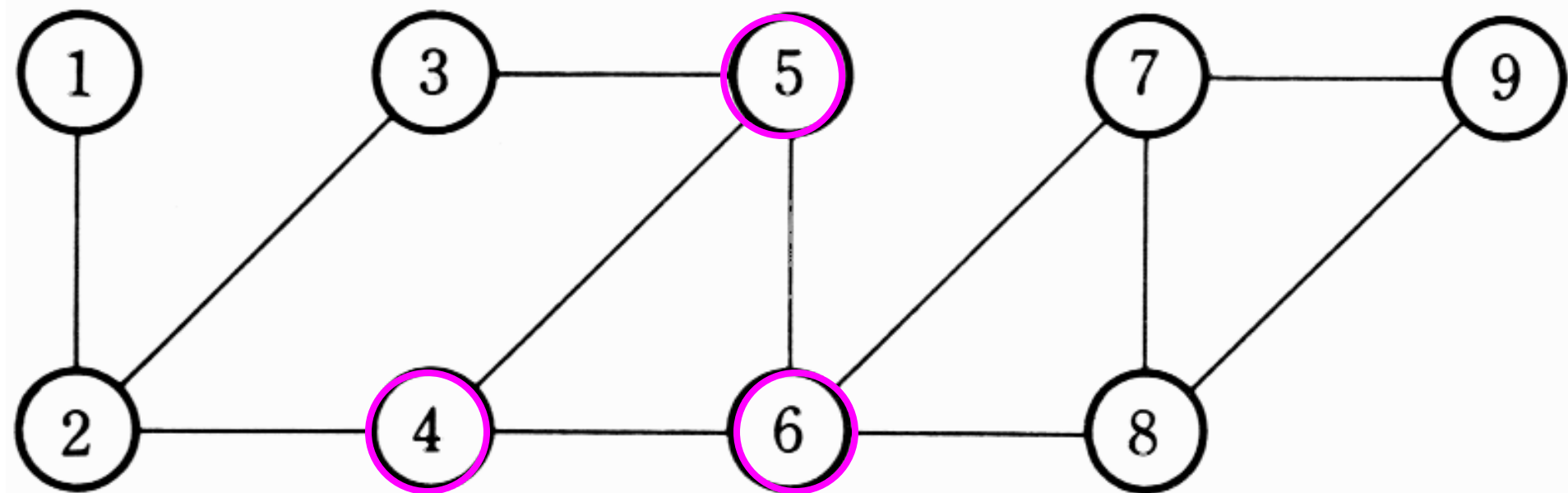
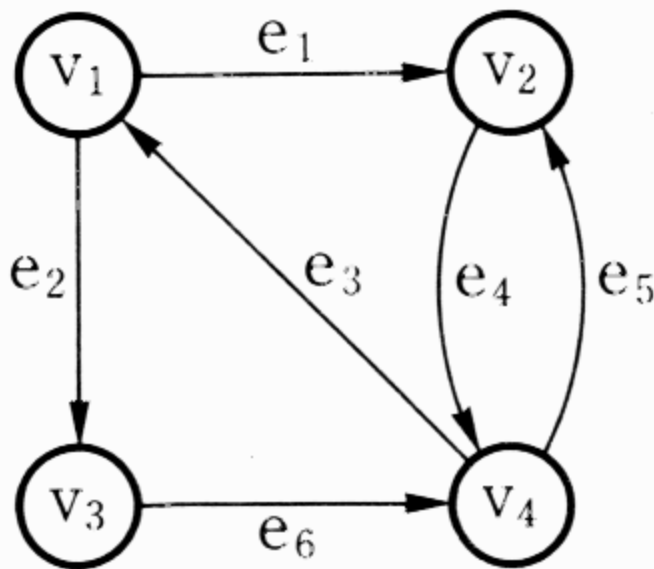
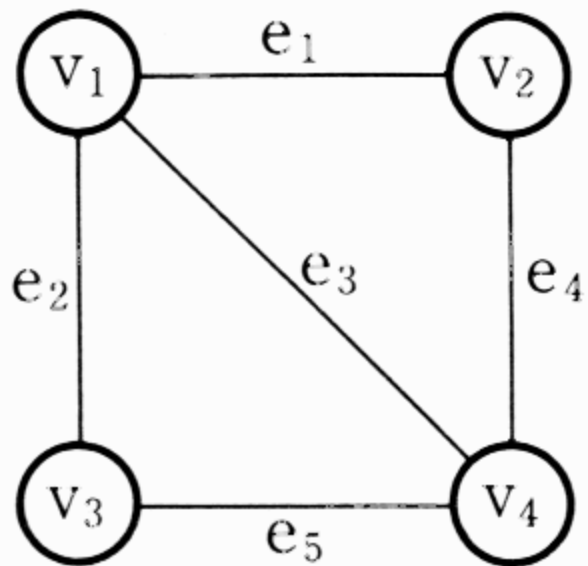


図 5.6 連結 (無向) グラフ

グラフの物理データ構造：隣接行列



(左) 左のグラフの隣接行列

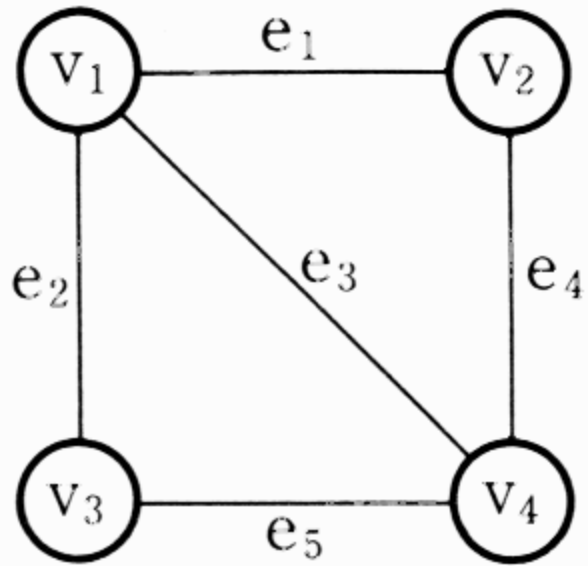
$$A_1 = \begin{bmatrix} 0 & 1 & 1 & 1 \\ 1 & 0 & 0 & 1 \\ 1 & 0 & 0 & 1 \\ 1 & 1 & 1 & 0 \end{bmatrix}$$

(右) 右のグラフの隣接行列

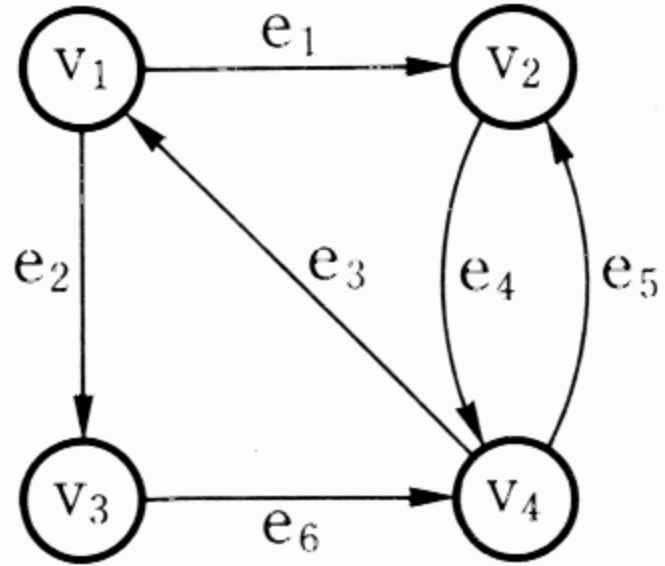
$$A_2 = \begin{bmatrix} 0 & 1 & 1 & 0 \\ 0 & 0 & 0 & 1 \\ 0 & 0 & 0 & 1 \\ 1 & 1 & 0 & 0 \end{bmatrix}$$

図 5.8 隣接行列

接続行列



(a) 無辺グラフ G_1



(b) 有向グラフ G_2

$$B_1 = \begin{bmatrix} 1 & 1 & 1 & 0 & 0 \\ 1 & 0 & 0 & 1 & 0 \\ 0 & 1 & 0 & 0 & 1 \\ 0 & 0 & 1 & 1 & 1 \end{bmatrix} \quad \left. \vphantom{B_1} \right\} \text{端点} B_2 = \begin{bmatrix} -1 & -1 & 1 & 0 & 0 & 0 \\ 1 & 0 & 0 & -1 & 1 & 0 \\ 0 & 1 & 0 & 0 & 0 & -1 \\ 0 & 0 & -1 & 1 & -1 & 1 \end{bmatrix}$$

図 5.9 接続行列

リンク配置：直交リスト

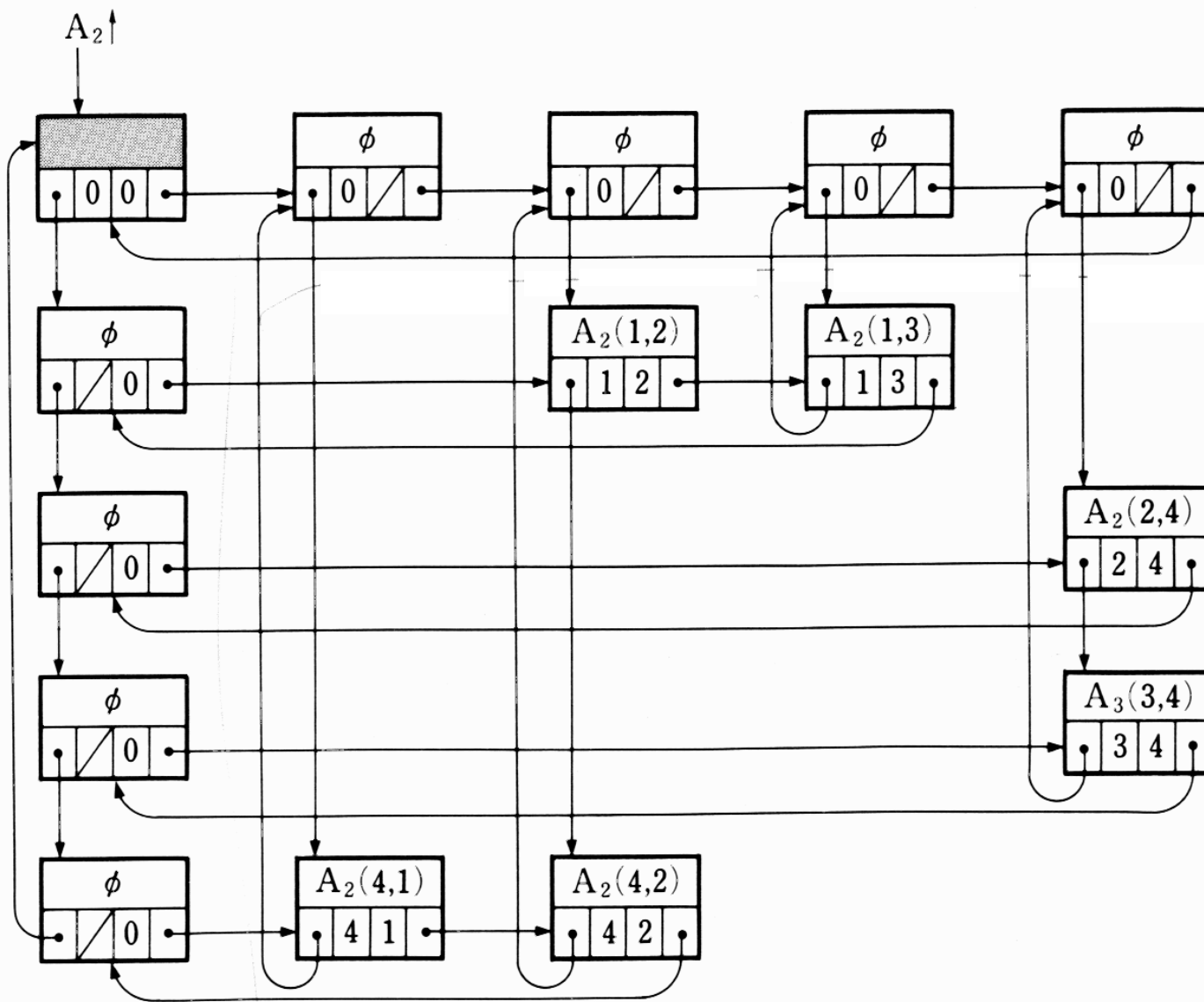
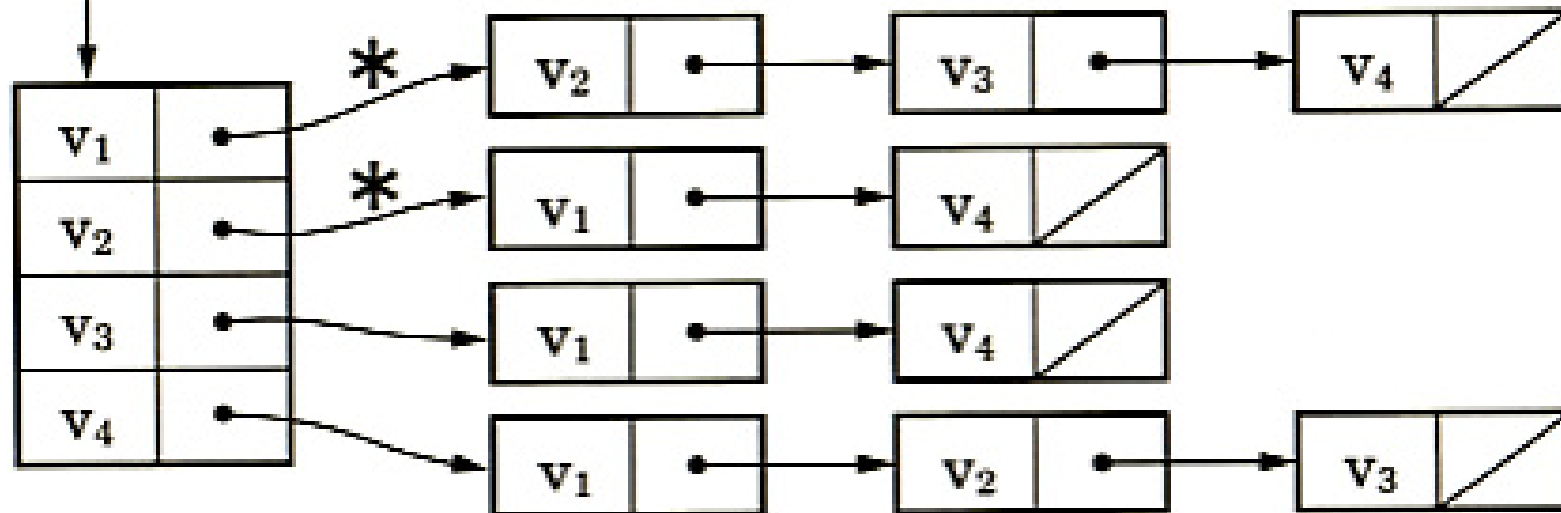


図 5.11 直交リストによる A_2 の表現

隣接リスト(無向グラフの場合)

G_1 へのポインタ

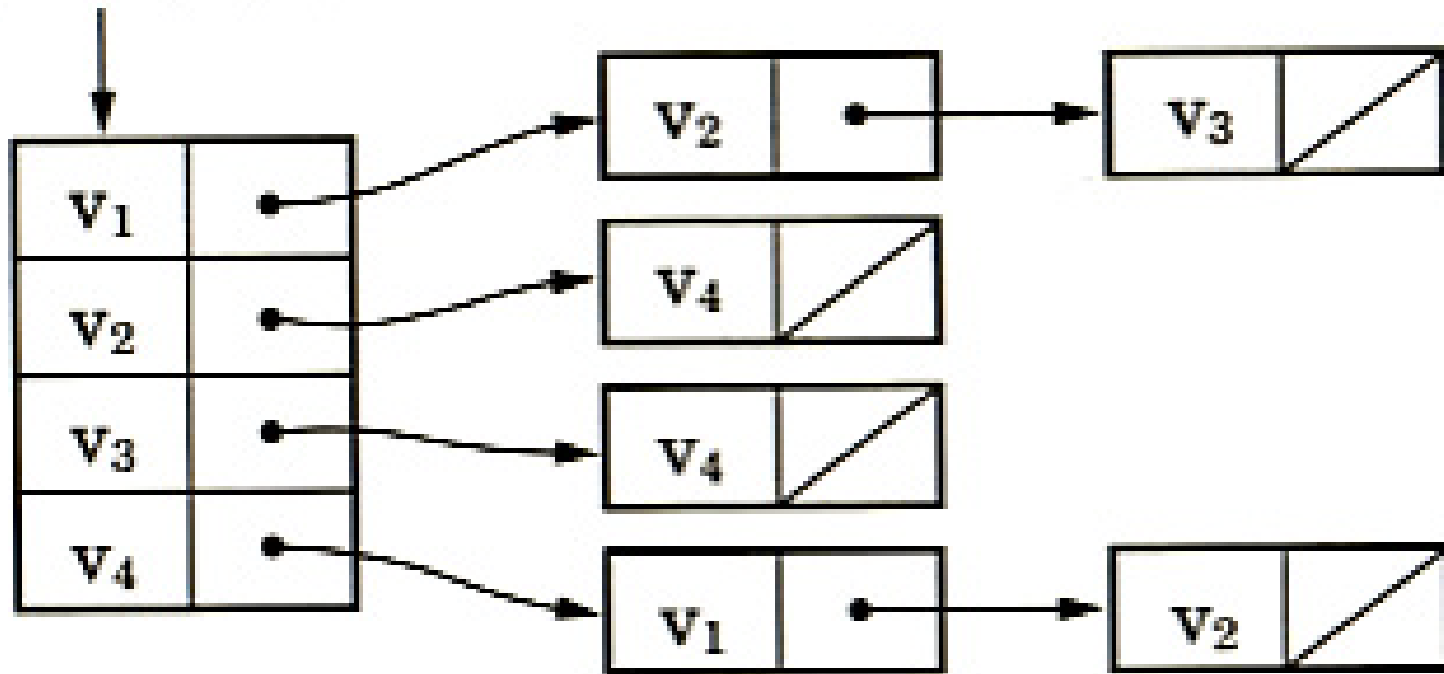


(a) 無向グラフ G_1

(a) 無向グラフ G_1

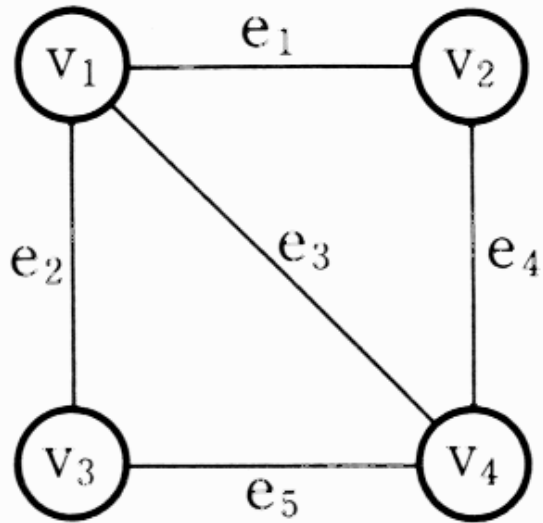
隣接リスト(有向グラフの場合)

G_2 へのポインタ



(b) 有向グラフ G_2

隣接多重リスト



(a) 無向グラフ G_1

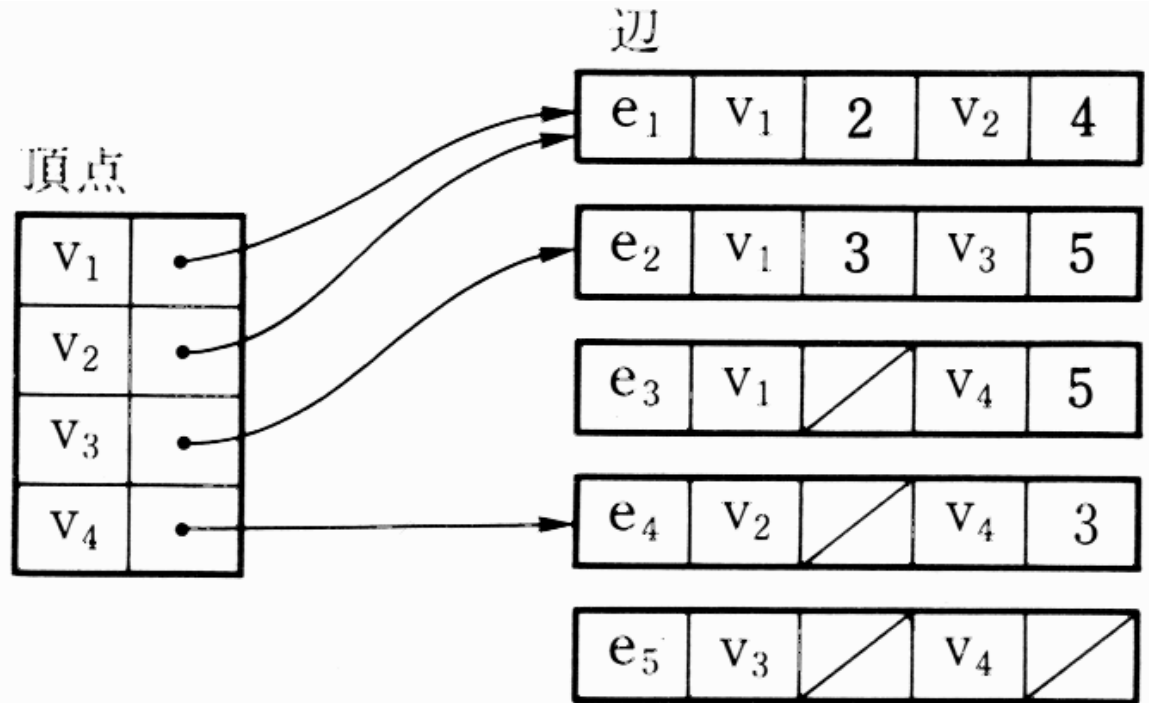
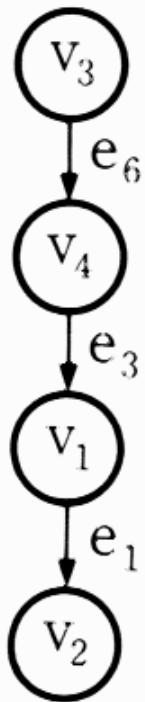
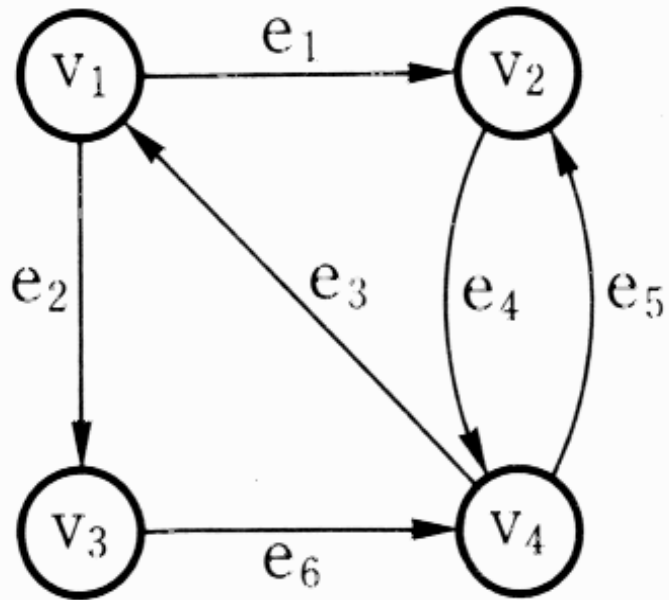


図 5.14 隣接多重リストによる G_1 の表現

グラフの縦型探索



(b₁)



(b) 有向グラフ G_2

vc
{

}

ma
{

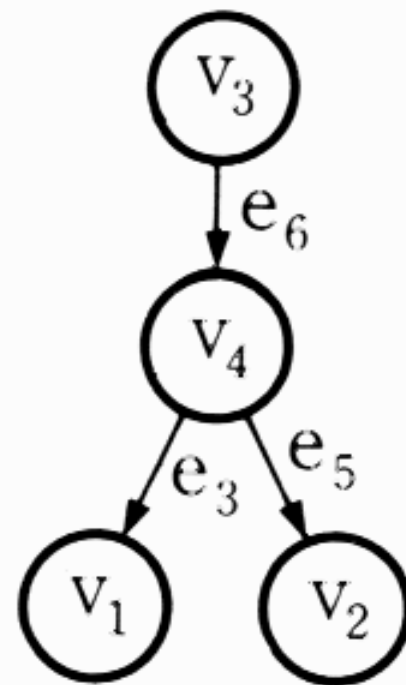
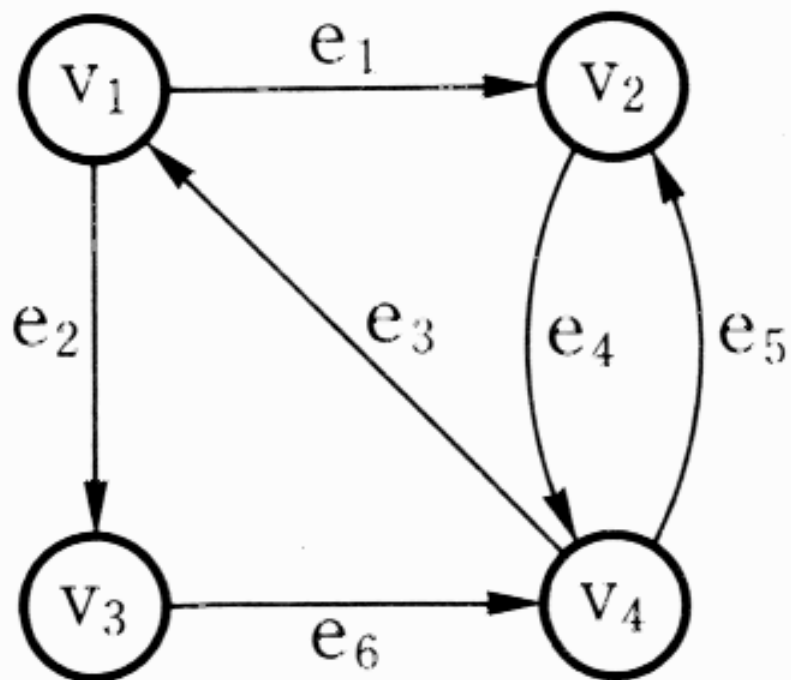
}

グラフの横型探索(課題)

参考: 迷路の探索アルゴリズム

```
list:={'S'};
while list≠∅do
  [ get-and-delete(list,n);
    if n='G' then return solved
    else [ expand(n,P);
            foreach m ∈ P do
              add(list,m)
            ];
  ]
return(no-solution)
```

グラフの横型探索の結果



(b) 有向グラフ G_2

強連結成分を求める

```
#define N 100
int graph[N][N], t[N], s;

void strong_connect()
{
    step1: depth_first_call(0);    // 結果は t[N] に格納される
                                   /* ただし depth_first(v) を終わるとき頂点 v に
                                   通し番号 s++ をつける */
    step2: transpose();
    step3: depth_first_call(1);    // 結果は t[N] に再度格納される
                                   /* ただし depth_first(v) の v は未訪問頂点のう
                                   ち最大の番号を持つものを優先的に選ぶ */
}
```

図 5・22 強連結成分を求める手続き

強連結成分への分解

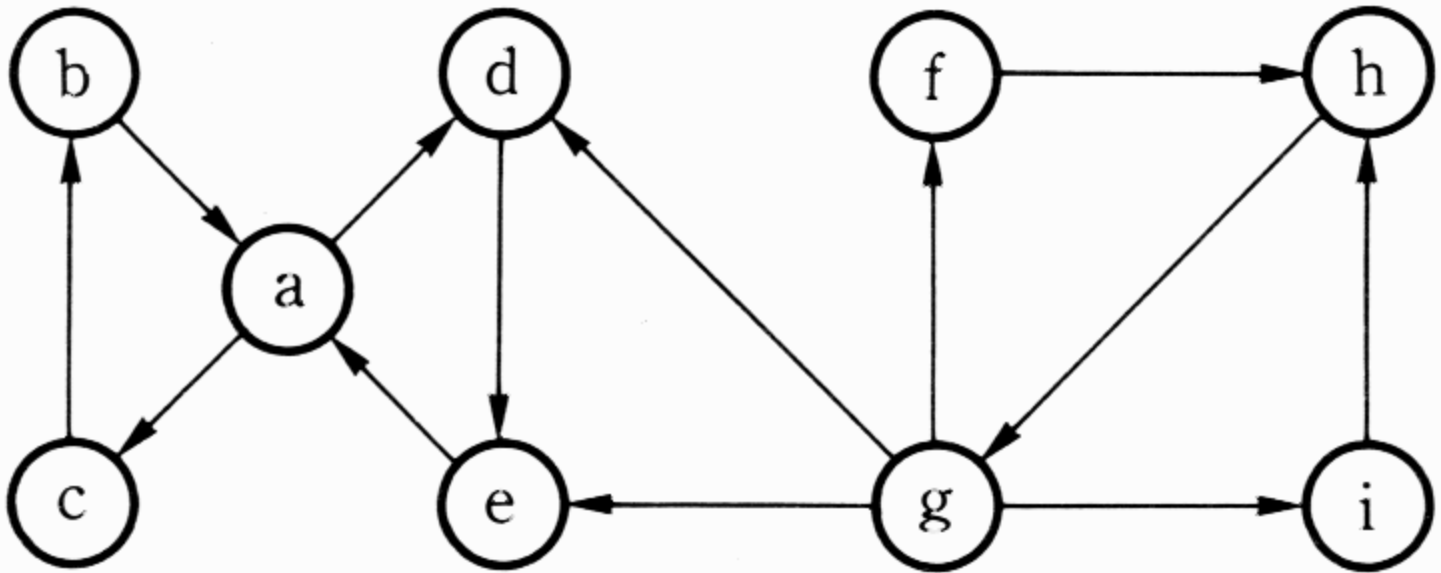


図 5.21 有向グラフ G

STEP 1 : 縦型探索

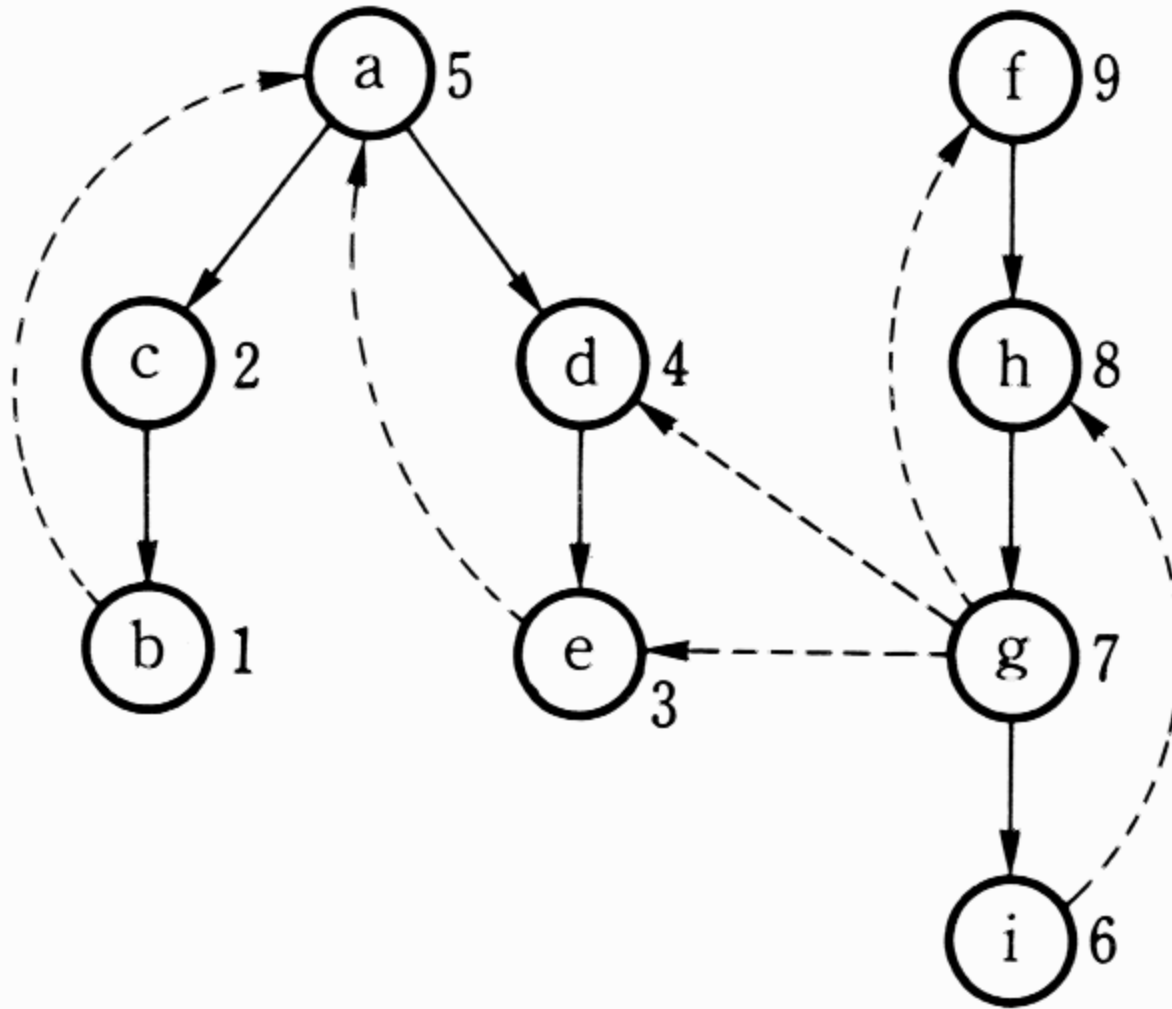


図 5.23 G の縦型探索森 (step 1 の結果)

STEP2: 辺の向きの変換

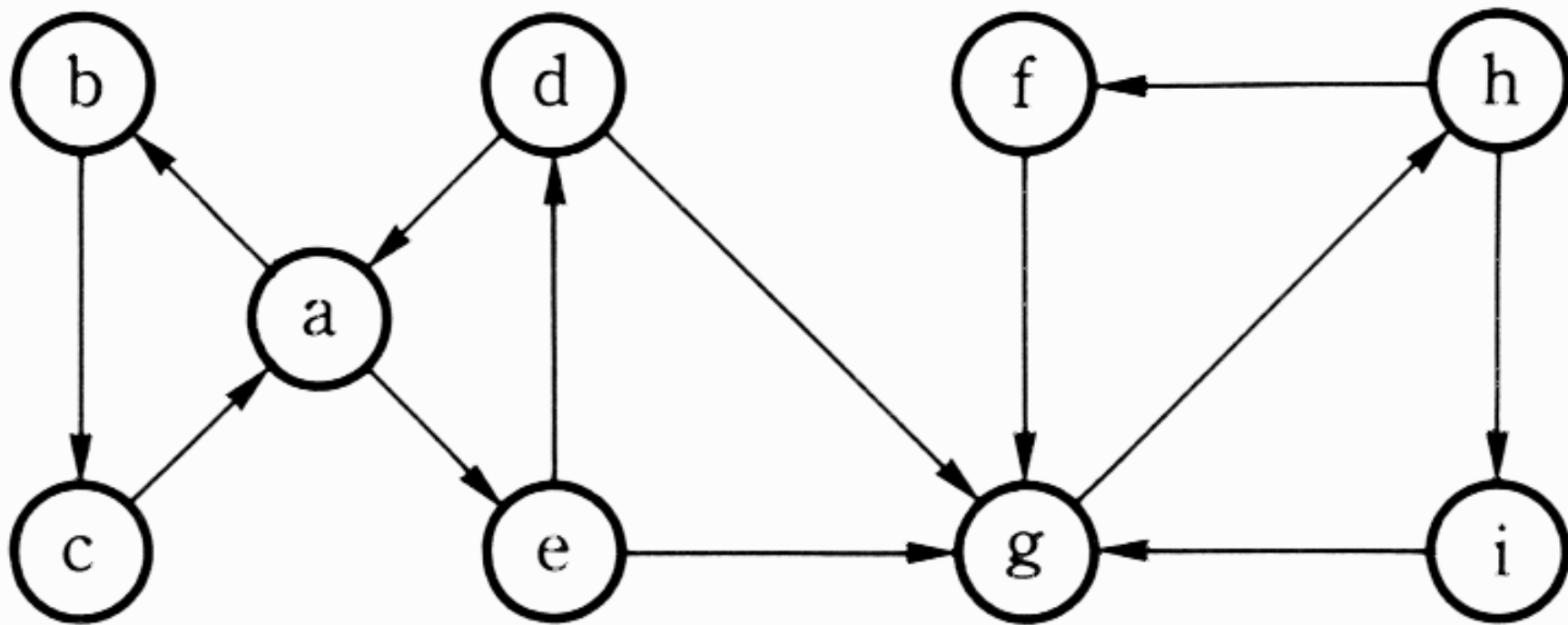


図 5.24 有向グラフ G^T (step 2 の結果)

STEP3: 辺を反転したグラフの縦型探索

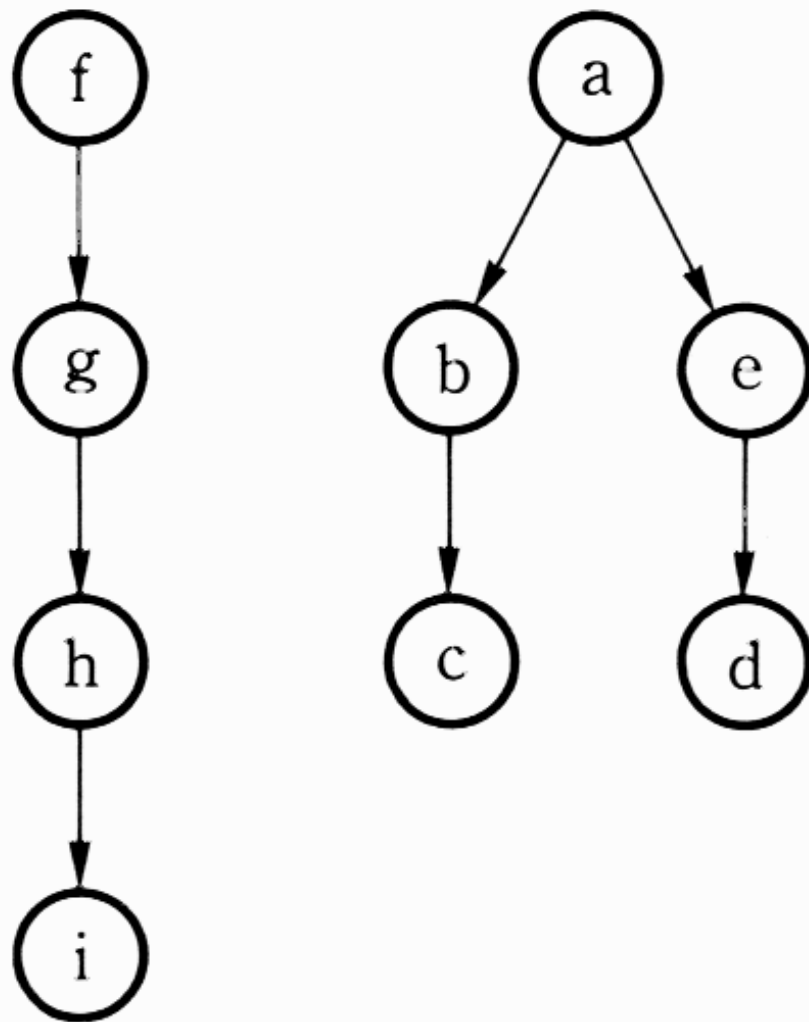


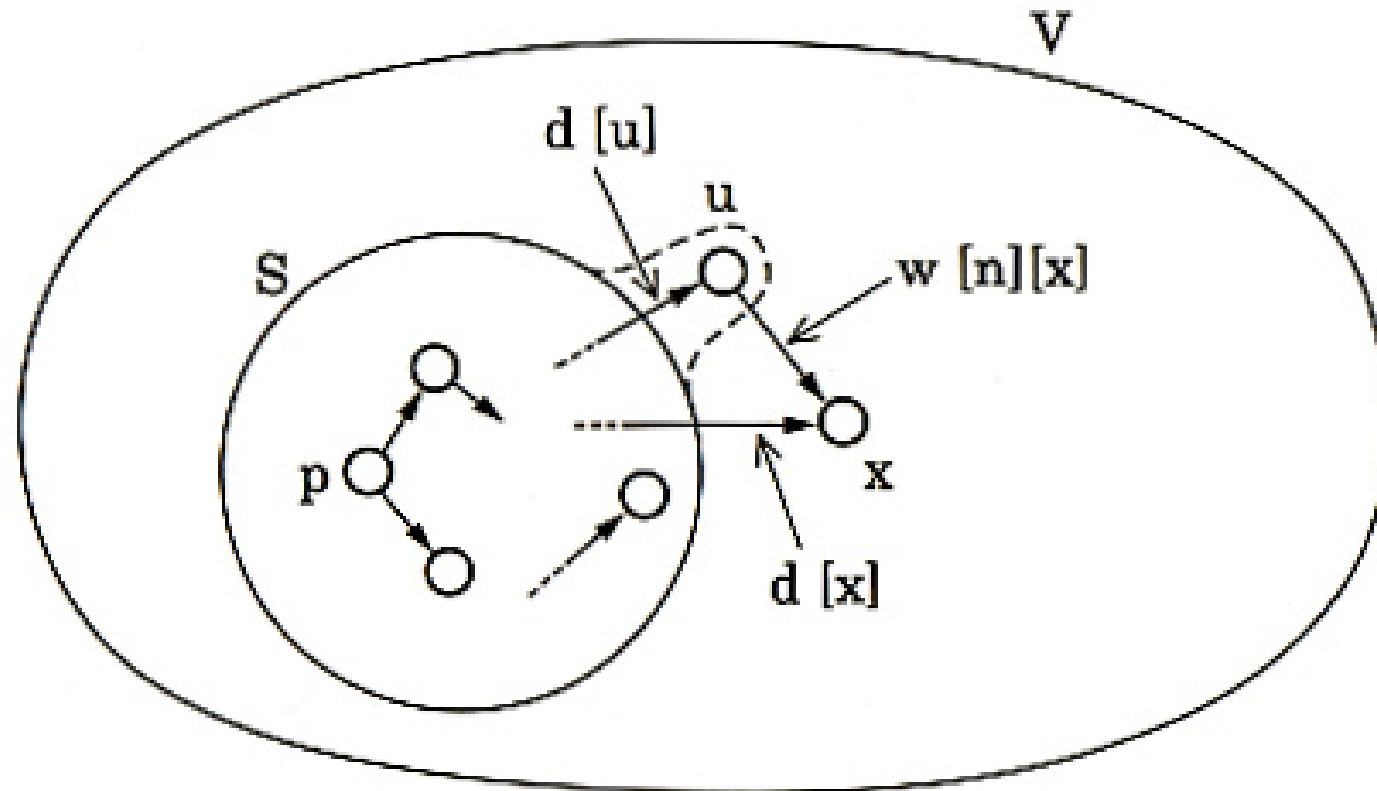
図 5.25 G^T の縦型探索森 F

Dijkstraのアルゴリズム

```
void Dijkstra(int p)
{  int i,u,x,k;
   add(p,S);                               ①
   for (i=0; i<N; i++) d[i] = w[p][i];    ②
   while (remain()) {                      } ③
       u = select_min();
       add(u,S);
       for (x=0; x<N; x++) {
           if (member(u,x)) {
               if (k = d[u]+w[u][x] < d[x]) d[x] = k; } } ④
       }
   }
}
```

図 5・26 頂点 p からの最短距離を求める Dijkstra アルゴリズム

Dijkstraのアルゴリズム



$d[u] + w[u][x] < d[x]$ なら、 x に至るより短い路が見つかった
($w[u][x]$ は辺 $\langle u, x \rangle$ の重み)

図 5-27 u は $V - S$ 中の最小の $d[u]$ を持つ頂点

Floydのアルゴリズム

```
void Floyd()
{
    int i,j,k,can;
    for (i=0; i<N; i++)
        for (j=0; j<N; j++)    {d[i][j] = w[i][j]; p[i][j] = i;} } ①
    for (k=0; k<N; k++)        ②
        for (i=0; i<N; i++)
            for (j=0; j<N; j++) {
                can = d[i][k] + d[k][j]; ③
                if (can < d[i][j]) {
                    d[i][j] = can; p[i][j] = p[k][j]; } } ④
}
```

図 5・29 すべての 2 頂点間の最短路と長さを求める Floyd アルゴリズム

Floydのアルゴリズム

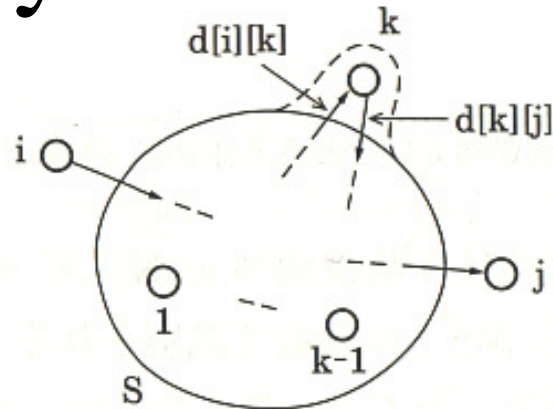


図 5・30 経由してもよい頂点として k を取り入れたときの最短路

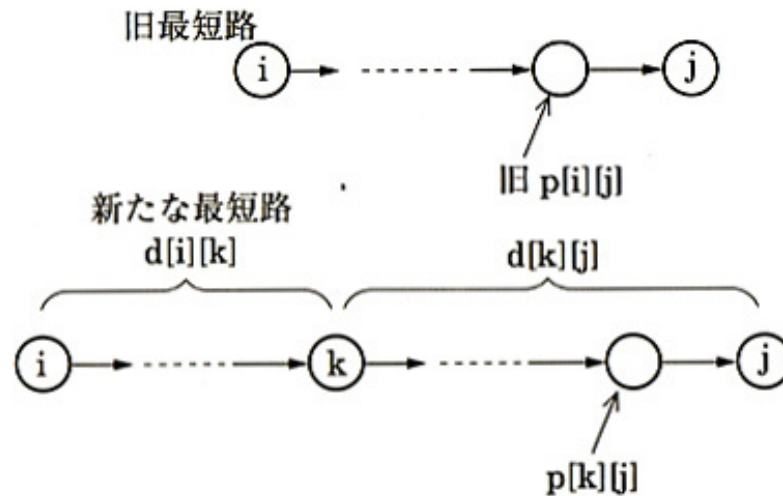


図 5・31 最短路の更新 ($p[k][j]$ が新たに $p[i][j]$ に格納される)

Floydのアルゴリズム

```
void shortest_path(int m; int n)
{
    int x;
    if (d[m][n] == M) printf("there is no path\n");
    else {x = n; push(x);
        while (x != m) {x = p[m][x]; push(x);}
        while (empty() != 1) {printf("%d =>", pop());}
        printf(" => END\n");
    }
}
```

図 5・32 最短路を出力する関数

グラフの応用：制約グラフ

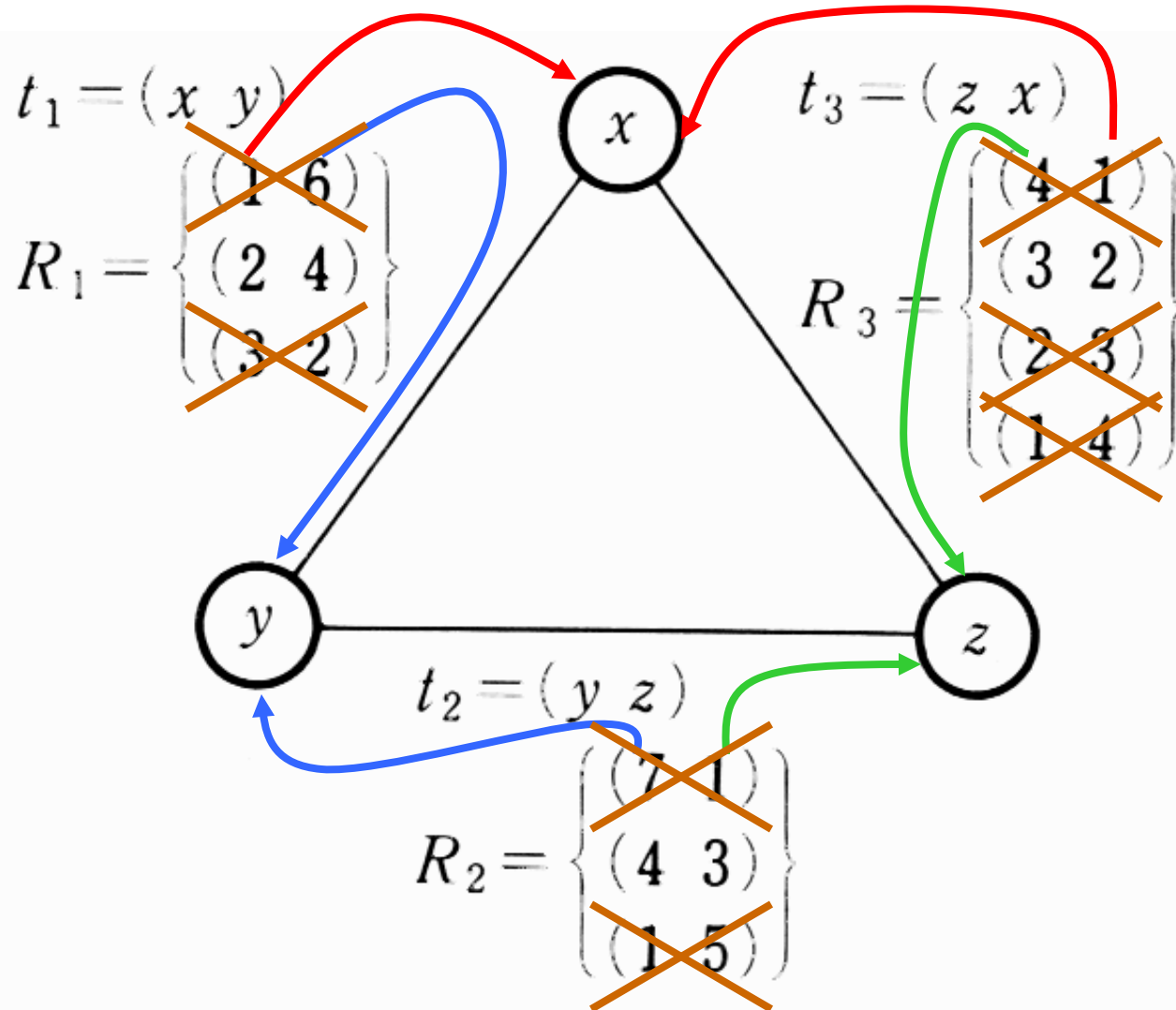


図 5.33 制約ネットワーク

グラフの応用：重みつき制約充足問題

(V,L,T,F)

例：

$V = \{x, y, z\}$, $L = \{a, b, c\}$,

$T = \{t_1 = (x, y), t_2 = (y, z)\}$

$y \backslash z$	a	b	c
a	11	9	13
b	12	8	7
c	8	15	11

(a) f_2 に $\max f_1$ を加えた結果

z	$\max(f_1 + f_2)$	y
a	12	b
b	15	c
c	13	a

(b) 変数 z の値と $f_1 + f_2$ の最大値

図 5.36 変数 y, z に関する最適化(第2ステップの結果)